

적층구조를 이용한 IEEE 802.11a용 2×1 배열 안테나 설계

박정아^{*} · 부종배^{*} · 김갑기^{*}

^{*}목포해양대학교

Design of 2×1 Array Antenna Using Stack Structure for IEEE 802.11a

Jung-ah Park^{*} · Chong-bae Bu^{*} Kab-Ki Kim^{*}

^{*}Mokpo National Maritime University

E-mail : laphella@mmu.ac.kr

요약

본 논문에서는 마이크로스트립 안테나의 좁은 대역폭 문제를 개선하여 IEEE 802.11a의 표준규격(가. 5.15~5.25[GHz], 나. 5.25~5.35[GHz], 다. 5.725~5.875[GHz])을 모두 포함할 수 있는 5[GHz]대역 광대역, 고 이득 안테나를 설계하였다. 설계된 패치 안테나는 소형화를 위해 분리되어진 방사패치와 기생패치 사이에 유전체(폴리우레탄 : $\epsilon_r=6.5$)를 삽입하여 공진주파수를 조정하였으며, 공기에 의해 분리되어진 방사패치와 접지면을 품($\epsilon_r=1.03$)으로 고정시켰다. 설계된 안테나의 주파수 대역폭(VSWR 2:1)은 4.9[GHz]~6.1[GHz]까지 약1.2[GHz]의 광대역 특성을 보였으며, 또한 E-평면과 H-평면 이득은 12[dBi]이상, 3[dB] 범폭은 E-평면 30°와 H-평면 60°이상의 개선된 특성을 보였다.

ABSTRACT

In this paper, the high gain and the broadband microstrip patch antenna, which is applicable to 5 GHz band wireless LAN, is designed in order to integrate IEEE 802.11a's detailed standards(a:5.15~5.25, b:5.25~5.35, c:5.725~5.875 [GHz]). Designed patch antenna has settled resonance frequency by insert substance(polyurethane : $\epsilon_r=6.5$) between the separated parasitic patch and radiation patch for the purpose of miniaturize. And the form ($\epsilon_r=1.03$) were to fix the separated radiation patch and ground plans by air. Designed frequency bandwidth(VSWR 2:1) of the antenna showed broadband characteristic of 4.9[GHz]~6.1[GHz] to about 1.2[GHz]. Also the E-plan and H-plan profit 12[dBi] above, the 3[dB] beamwidth showed the characteristic over the E-plan 30° and H-plan 60° to be improved.

키워드

IEEE 802.11a, broadband, patch, W-LAN, Stack

I. 서 론

무선통신망을 활용한 통신, 방송, 교통, 특히 이동통신 분야의 발달에 따라 전파의 이용이 급증하고 있다. 이와 더불어 고속, 대용량 정보의 전송기술에 대한 필요성이 크게 대두되어지며, 다중대역 혹은 광대역에서 동작할 수 있는 안테나 개발이 요구되어지고 있다. 이러한 무선통신의 기반을 형성하는 것이 안테나의 기술인데 최근 W-LAN(Wireless Local Network)을 이용한 무선 기기들의 보급이 확산되고 있으며, 이러한 무선 단말기들의 소형화 추세에 따라 무게가 가볍고 부피가 작으며, 높이가 낮은 등의 장점을 가지고 있는 마이크로스트립 패치 안테나가 상용화되는 추세이다^[1].

이러한 상황에서 2003년 6월 스위스 제네바에서

개최된 WRC- 2003 회의에서 5[GHz]대역에 대하여 1차 이동업무용 주파수 대역으로 재분배하였다. 또한 5[GHz]대역 무선랜 시스템 IEEE 802.11a의 표준규격(가. 5.15~5.25[GHz], 나. 5.25~5.35[GHz], 다. 5.725~5.875[GHz])에 대한 제품이 최근 들어 등장하기 시작하면서 5[GHz]대역 무선랜의 활용방안에 대한 연구가 활발히 진행되고 있다^[2]. 따라서 본 논문에서는 낮은 유전체 기판의 사용^[3], 적층구조 방식^[4] 및 급전방식의 변화^[5], 방사패치에 다양한 형태의 Slot 삽입^[6] 등의 광대역화 기법을 이용하여 마이크로스트립 안테나의 좁은 대역폭 문제를 개선함으로써, IEEE 802.11a의 표준규격을 모두 포함할 수 있는 5[GHz]대역 광대역, 고 이득 안테나를 설계하고자 한다.

II. 패치안테나 설계 이론

2.1. 패치의 폭과 길이

공진 주파수 f_r 에서 동작하도록 유전율이 ϵ_r 이고 두께가 h 인 기판위에 구형 마이크로스트립 패치 안테나를 설계하는 경우 실제 폭 W 는

$$W = \frac{c}{2f_r} \left(\frac{\epsilon_r + 1}{2} \right)^{-1/2} \quad (1)$$

이 된다. 여기서 C 는 광속도, f_r 은 안테나의 공진주파수이다. 공진패치의 길이와 폭이 유한하기 때문에 공진패치 가장자리에서의 계와 폭에 대해서 프린징이 발생하게 된다. 총 프린징 효과는 공진패치의 크기와 기판높이의 함수로써 안테나의 공진주파수에 영향을 주기 때문에 고려해야 한다. 마이크로스트립 선로에서 대부분의 전기력선은 기판에 존재하고 그 일부는 공기에 존재한다. 즉, 파의 일부는 기판에, 다른 일부는 공기로 진행하기 때문에 선로에서 프린징과 전파 전파를 계산하기 위하여 실효 유전율을 도입한다. 실효유전율 ϵ_{re} 은 $W/h > 1$ 인 경우,

$$\epsilon_{re} = \frac{\epsilon_r + 1}{2} + \frac{\epsilon_r - 1}{2} \left(1 + \frac{12h}{W} \right)^{-1/2} \quad (2)$$

으로 나타낼 수 있다. 프린징 효과 때문에 마이크로스트립 안테나의 공진패치는 물리적인 크기보다 전기적으로 더 큰 것처럼 보인다.

기본 E-평면(x-y평면)에서 길이에 대한 공진패치 크기는 각 종단에서 Δl 만큼 확장되었다.

Δl 은 Hammerstad 실험식으로 프린징 필드에 의한 확장효과이며 식(3)과 같다.

$$\Delta l = 0.412 \frac{(\epsilon_{re} + 0.3)(W/h + 0.264)}{(\epsilon_{re} - 0.258)(W/h + 0.8)} \quad (3)$$

실효유전율 ϵ_{re} 와 선로확장 Δl 에 의해 방사체 길이 L 은

$$L = \frac{c}{2f_r \sqrt{\epsilon_{re}}} - 2\Delta l \quad (4)$$

이 된다. 사각형 공진패치의 경우 길이 L 은 일 반적으로 $\lambda_0/3 < L < \lambda_0/2$ 이다.

2.2. 공진주파수의 결정

마이크로스트립 패치 안테나의 공진주파수 f_r 은 식(4)에 의해

$$f_r = \frac{c}{2(L+2\Delta l) \sqrt{\epsilon_{re}}} \quad (5)$$

과 같이 나타낼 수 있다. 공진주파수는 안테나 소자의 전기적인 길이 ($L + \Delta l$), 실효유전율과 기판의 두께에 관계가 있지만 주로 길이에 의해 결정된다^[7].

III. 적층 2×1 배열 안테나 설계

안테나의 이득을 개선하기 위해서 2×1로 배열하였고, 대역폭의 개선을 위해 마이크로스트립 라인-동축 프로브 급전방식으로 급전하였으며, 기생패치를 적층하는 형태로 구현하였다. 또한, 소형화를 위해 분리되어진 방사패치와 기생패치 사이에 유전체(폴리우레탄 $\epsilon_r=6.5$)를 삽입하여 공진주파수를 조정하였으며, 공기에 의해 분리되어진 방사패치와 접지면을 품($\epsilon_r=1.03$)으로 고정시켰다. 시뮬레이션은 CST사의 Micro wave studio 5.0을 사용하였으며, 최적화된 각 변수들의 값은 다음과 같다. 방사 패치의 $W=20[\text{mm}]$, $L=21[\text{mm}]$, 기생패치의 $W=20[\text{mm}]$, $L=16.6[\text{mm}]$, 임피던스 결합기의 $W=1.8[\text{mm}]$, $L=16.4[\text{mm}]$, Ground의 $W=70[\text{mm}]$, $L=90[\text{mm}]$ 임을 알 수 있었다.

그림 1과 그림 2는 본 논문에서 제안한 적층구조 2×1 배열 광대역 마이크로스트립 패치 안테나의 측면도와 정면도를 보여주고 있다. 최적화 설계된 적층구조 2×1배열 마이크로스트립 패치 안테나의 시뮬레이션 결과로 그림3에서 안테나의 입력 반사손실이 -10[dB](VSWR 2:1) 이하인 주파수 범위가 4.9[GHz]~6.1[GHz]까지 약1.2 [GHz]의 광대역 특성을 보였다.

그림 4~11은 5.15[GHz], 5.25[GHz], 5.725[GHz], 5.875[GHz]에 대한 E-평면과 H평면의 방사패턴을 보여주고 있다. 이득은 12[dBi], 3[dB] 빔폭은 E-평면에서 30°, H-평면에서 60°라는 양호한 시뮬레이션 결과를 얻을 수 있었다.



그림 1. 적층구조의 2×1 배열 안테나 측면
Fig. 1. Side view of 2×1 array antenna using the stack structure

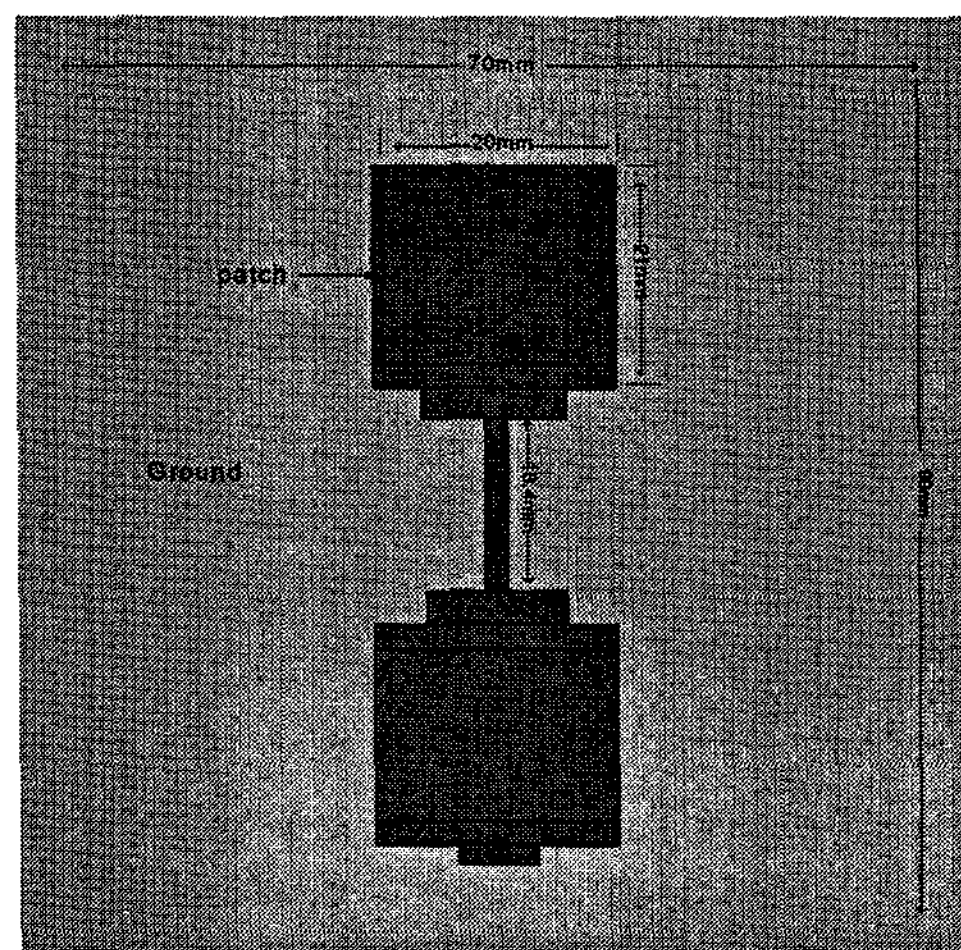


그림 2. 적층구조의 2×1 배열 안테나 정면
Fig 2. Front view of 2×1 array antenna using the stack structure

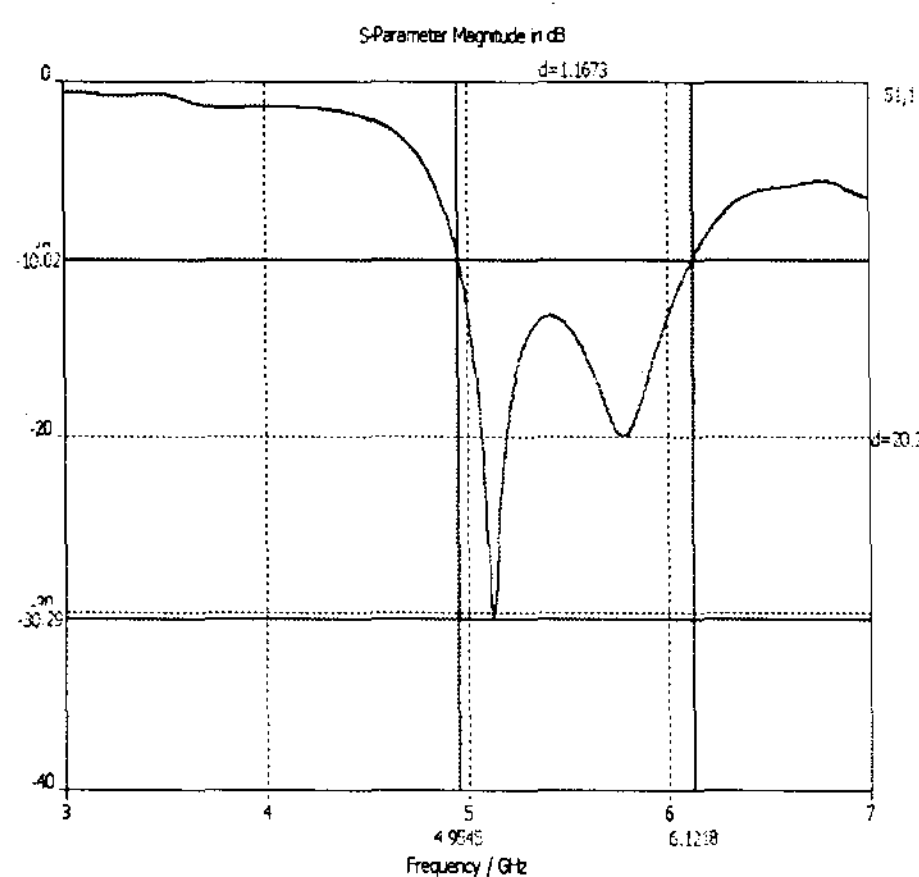


그림 3. 입력 반사손실
Fig 3. Input return-loss

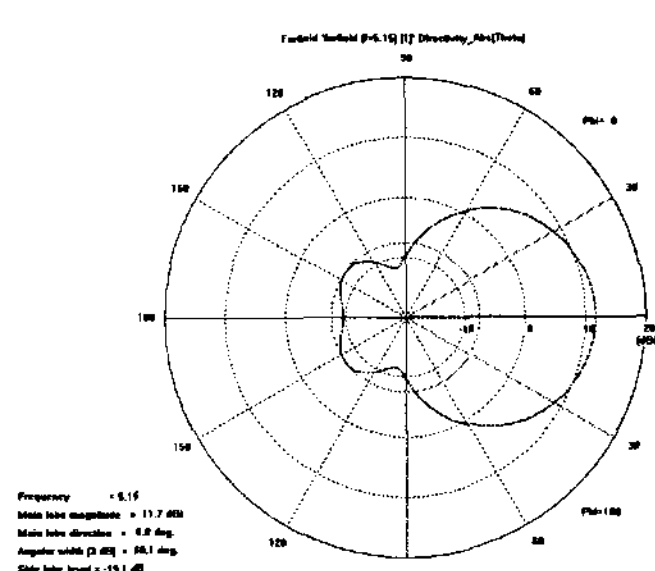


그림 5. 5.15GHz H-평면 방사패턴
Fig 5. Radiation pattern of the H-plane at 5.15 [GHz]

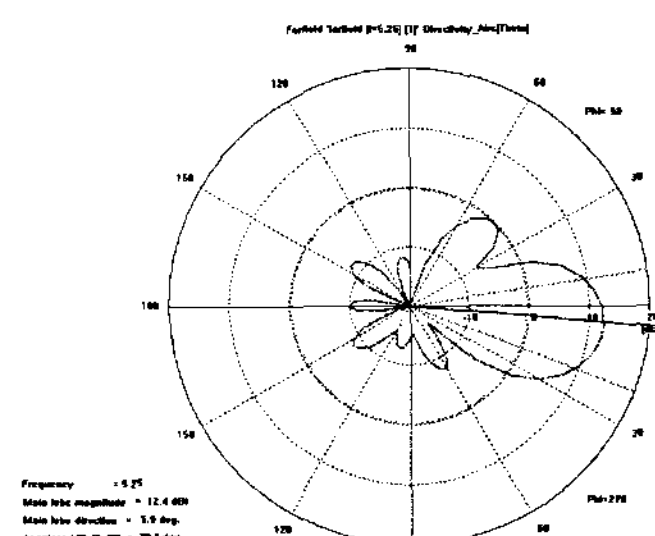


그림 6. 5.25GHz E-평면 방사패턴
Fig 6. Radiation pattern of the E-plane at 5.25 [GHz]

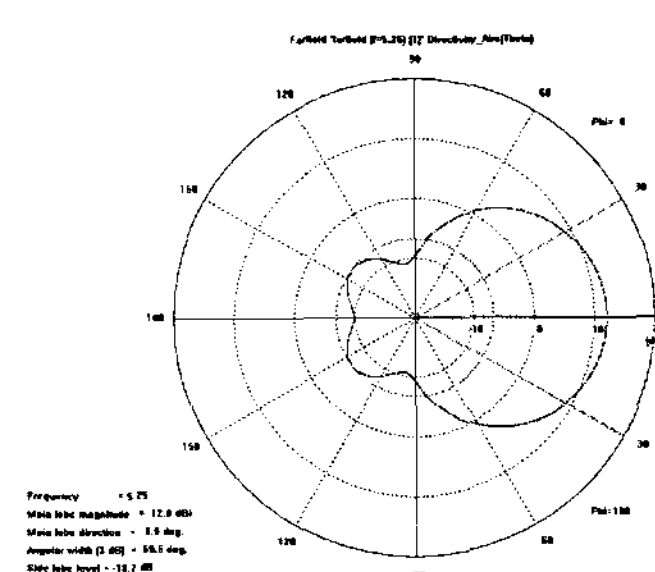


그림 7. 5.25GHz H-평면 방사패턴
Fig 7. Radiation pattern of the H-plane at 5.25 [GHz]

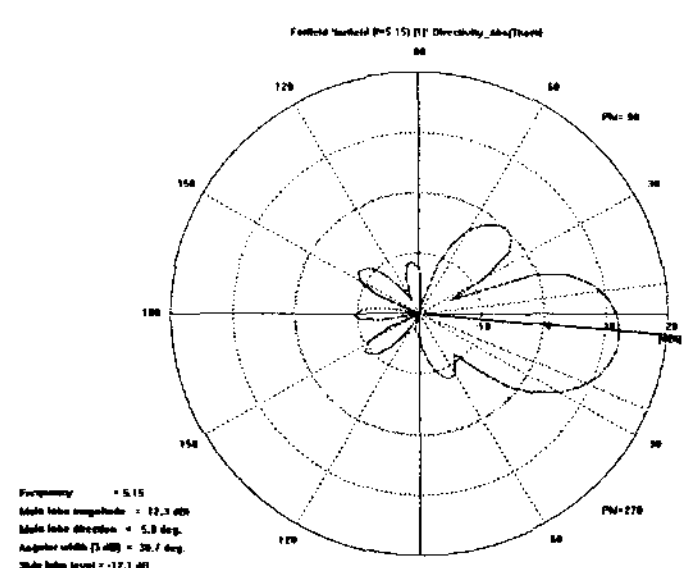


그림 4. 5.15GHz E-평면 방사패턴
Fig 4. Radiation pattern of the E-plane at 5.15 [GHz]

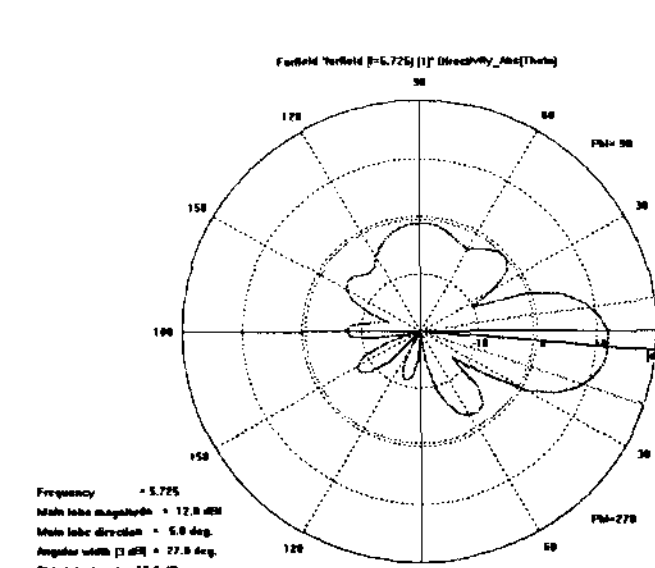


그림 8. 5.725GHz E-평면 방사패턴
Fig 8. Radiation pattern of the E-plane at 5.725 [GHz]

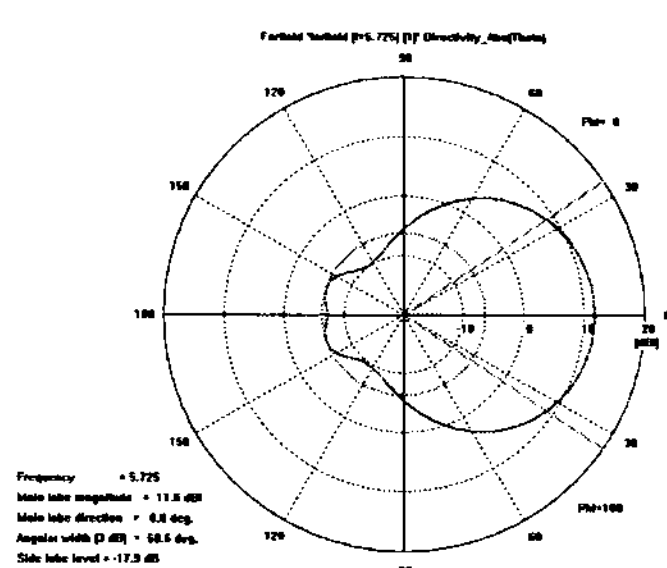


그림 9. 5.725GHz H-평면 방사패턴
Fig. 9. Radiation pattern of the H-plane at 5.725 [GHz]

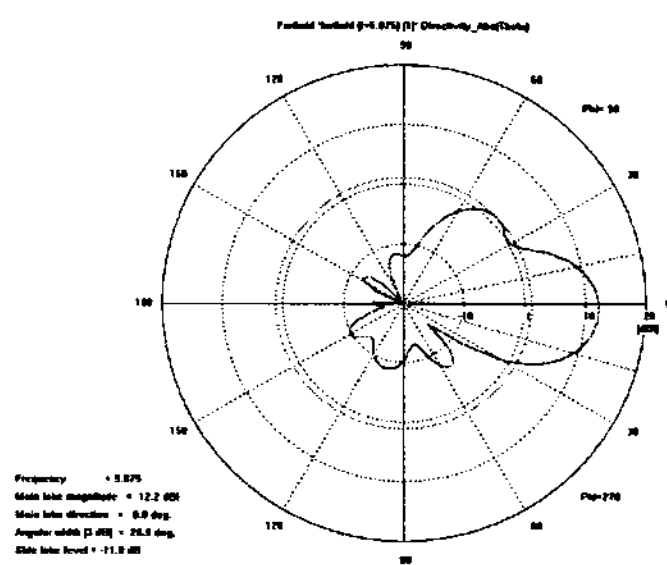


그림 10. 5.875GHz E-평면 방사패턴
Fig. 10. Radiation pattern of the E-plane at 5.875 [GHz]

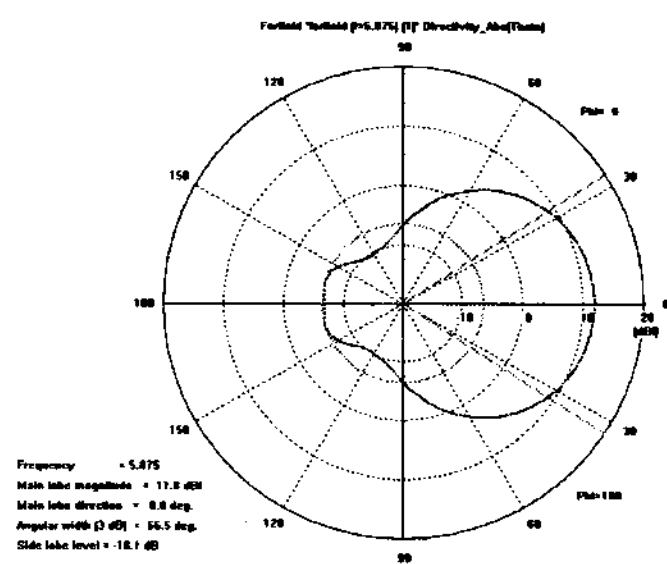


그림 11. 5.875GHz H-평면 방사패턴
Fig. 11. Radiation pattern of the H-plane at 5.875 [GHz]

IV. 결 론

본 논문에서는 IEEE802.11a의 표준규격(가. 5.1 5~5.25[GHz], 나. 5.25~5.35[GHz], 다. 8.725~5.875[GHz])을 모두 포함할 수 있는 5[GHz]대역 광대역, 고이득 안테나를 설계하였다. 안테나의 이득을 개선하기 위해서 2×1로 배열하였고, 대역 폭의 개선을 위해 마이크로스트립 라인-동축 프로브 급전방식으로 급전하였으며, 적층구조 기생 패치를 구현하였다. 또한, 소형화를 위해 분리되어

진 방사패치와 기생패치 사이에 유전체(폴리우레탄 $\epsilon_r=6.5$)를 삽입하여 공진주파수를 조정하였으며, 공기에 의해 분리되어진 방사패치와 접지면을 품($\epsilon_r=1.03$)으로 고정시켰다. 그 결과 설계된 안테나의 입력 반사손실이 -10[dB](VSWR 2:1) 이하인 주파수 대역폭은 4.9[GHz]~6.1[GHz]까지 약1.2 [GHz]의 광대역 특성을 보였으며, 또한 이득은 12[dBi], 3[dB] 범폭은 E-평면에서 30°, H-평면에서 60°라는 양호한 시뮬레이션 결과를 얻을 수 있었다. 따라서 본 논문에서 사용한 설계방식이 마이크로스트립 안테나의 대역폭을 개선하는데 효과적이며, IEEE 802.11a 표준규격을 모두 포함하고 이득 광대역 특성을 가지고 있으므로 추후에 시뮬레이션 데이터를 가지고 제작 할 것이며, 제작된 안테나는 W-LAN 시스템에서 충분히 사용될 수 있을 것으로 사료된다.

참고문헌

- [1] 김용희, 한준희, 이원규, 양운근 “폴디드 구조와 단락 구조를 이용한 5 GHz 무선 랜용 광대역 패치 안테나 설계 및 구현” 한국전자파학회 논문지, 제17권, 제8호, pp, 760-765, 8. 2006.
- [2] K. F. Lee, K. M. Luk, F. Tong, S. M. Shum, T. Huynh, and R. O. Lee., "Experimental and simulation studies of the coaxially fed U-slot rectangular patch antenna," IEEE Proc, Vol. 144, pp. 354-358, Oct. 1997.
- [3] J. R. James and P. S. Hall., Handbook of microstrip antenna. London : Peter Peregrinus. 1989.
- [4] D. M. Pozar., Microstrip Antennas., Proc. IEEE, Vol. 80, pp 79-91. Jan 1992.
- [5] S. D. Targonski and R. B. Waterhouse., "An Aperture Coupled Stacked Patch Antenna with 50% Bandwidth", IEEE AP-S. Baltimore. Maryland, pp. 18-21, July 1996.
- [6] Naftali Herscovici, " A wide-band single-layer patch antenna", IEEE AP-S, Atlanta. Georgia. pp. 1108-1111. June. 1998.
- [7] 김평국 “적층구조를 이용한 광대역 무선랜 용 2×1 배열 안테나 설계 및 제작에 관한 연구” 석사학위논문집, pp, 38-40, 7. 2004.